

УДК 003.26:621.39+530.145

Е.В. Василиу

## СТОЙКОСТЬ ПИНГ-ПОНГ ПРОТОКОЛА С ТРИПЛЕТАМИ ГРИНБЕРГЕРА – ХОРНА – ЦАЙЛИНГЕРА К АТАКЕ С ИСПОЛЬЗОВАНИЕМ ВСПОМОГАТЕЛЬНЫХ КВАНТОВЫХ СИСТЕМ

*На основе методов квантовой теории информации анализируется атака с применением вспомогательных квантовых систем на пинг-понг протокол с трехкубитными перепутанными состояниями Гринберга – Хорна – Цайлингера (ГХЦ). При использовании легитимными пользователями в режиме контроля подслушивания двух измерительных базисов протокол является асимптотически безопасным. Выполняется предварительный сравнительный анализ безопасности трех вариантов пинг-понг протокола. Информационная емкость и безопасность различных вариантов пинг-понг протокола находятся в обратно пропорциональной зависимости. Количество битов, которые может перехватить подслушивающий агент до его обнаружения, даже для протокола с ГХЦ-триплетами не превышает двух-трех десятков. Кратко обсуждаются способы защиты пинг-понг протокола с ГХЦ-триплетами от других известных видов атак на пинг-понг протокол.*

### Введение

Квантовая теория информации – новое междисциплинарное направление, возникшее на стыке квантовой механики, теории информации и теории вычислений, интенсивно развивается в последние два десятилетия [1]. Одним из прикладных направлений этой новой теории является квантовая криптография – методы защиты информации, основанные на фундаментальных законах квантовой механики. Так, квантовые протоколы распределения ключей обеспечивают безопасный способ создания секретного ключа, с помощью которого две авторизованные стороны, Алиса и Боб, могут затем обмениваться секретными сообщениями с применением алгоритмов классической криптографии [1]. Недавно была предложена новая концепция квантовой криптографии, получившая название квантовой безопасной прямой связи (КБПС) [2]. В протоколах КБПС секретный ключ вообще не используется, а секретное сообщение, закодированное с помощью квантовых состояний кубитов, передается непосредственно через квантовый канал связи. При этом законы квантовой механики гарантируют обнаружение подслушивания в канале, для чего легитимные стороны должны выполнить определенную последовательность квантовых измерений над некоторой частью переданных кубитов. Обнаружив подслушивающего агента Еву, Алиса и Боб прекращают передачу сообщения.

Одним из протоколов КБПС является пинг-понг протокол, в котором в качестве кубитов используются пары фотонов, максимально перепутанных по их поляриационным степеням свободы (белловские пары) [2]. При этом информация кодируется фазой перепутанных кубитов. Так как только один кубит передается от Боба к Алисе (пинг), а затем назад от Алисы к Бобу (понг), закодированная информация не может быть извлечена Евой измерением состояния этого одного кубита. Декодирование становится возможным только при выполнении измерения в базисе Белла над обоими кубитами, что позволяет определить их корреляцию друг с другом, а такое измерение может выполнить только Боб.

Однако, используя вспомогательные квантовые системы (пробы) и выполняя соответствующие унитарные операции и последующие измерения над составными (фотоны – пробы) квантовыми системами, Ева имеет возможность перехватить некоторую часть сообщения [2]. Поэтому в пинг-понг протоколе предусмотрен специальный режим контроля подслушивания, с помощью которого Алиса и Боб обнаруживают операции Евы [2–4].

Отметим, что недавно этот первоначальный вариант пинг-понг протокола был реализован на экспериментальном оборудовании [5]. Для демонстрации работы протокола по квантовому каналу был передан случайный двоичный ключ длиной 10 000 бит (разумеется, пинг-понг протокол можно использовать и в качестве квантового протокола распределения ключей). Скорость передачи достигала 4250 бит/с, а уровень ошибок составил 3,8 %, что можно

считать вполне приемлемыми значениями для практического использования протоколов квантовой криптографии.

В первоначальном варианте пинг-понг протокола [2] каждый передаваемый кубит (один из перепутанной пары) используется для кодирования одного классического бита. Чтобы увеличить информационную емкость источника, необходимо использовать квантовое сверхплотное кодирование. В этом случае с помощью одного кубита можно передать два бита информации [3, 4]. Дальнейшее увеличение информационной емкости предполагает использование вместо перепутанных пар кубитов их троек, четверок и т. д. Один из протоколов с передачей пакетов полностью перепутанных триплетов кубитов, так называемый многошаговый протокол КБПС, предложен в [6]. Другой протокол с использованием ГХЦ-триплетов, позволяющий секретно передать сообщение от Алисы к Бобу под контролем третьей доверенной стороны, предложен в [7]. Достоинством этих протоколов является высокий уровень стойкости к атакам, а недостатком – необходимость наличия квантовой памяти большого объема для хранения состояний пакетов кубитов до завершения всего протокола. В отличие от таких протоколов, для пинг-понг протокола требуется хранить лишь состояние одного кубита (у Боба) в течение одного цикла протокола. Поэтому с точки зрения практической реализации пинг-понг протокол обладает несомненным преимуществом перед протоколами с пересылкой больших пакетов кубитов.

Однако пинг-понг протокол с белловскими парами является асимптотически безопасным, т. е. любая эффективная атака Евы будет обнаружена, но прежде она сможет получить некоторую небольшую часть сообщения [2–4]. Тем не менее, безопасность протокола может быть усилена с помощью методов классической криптографии. Один из таких методов, основанный на шифре Хилла и состоящий в обратимом хешировании блоков сообщения посредством умножения на случайную обратимую двоичную матрицу, предложен в [8]. Поэтому значительный интерес представляет разработка вариантов пинг-понг протокола с использованием перепутанных состояний трех и большего числа кубитов, которые, с одной стороны, обладают значительной информационной емкостью, а с другой стороны, легче реализуемы технически, чем протоколы, предложенные в [6, 7].

Отметим, что к настоящему времени выполнен ряд экспериментальных работ по генерации многокубитных ГХЦ-состояний с поляризованными фотонами. Так, в [9] создано оборудование для генерации максимально перепутанных триплетов фотонов в ГХЦ-состояниях. В работе [10] аналогичное оборудование создано для генерации различных четырехфотонных состояний, в том числе состояний ГХЦ, а в [11] – для шестифотонных перепутанных по поляризации состояний. Таким образом, современное оборудование уже позволяет генерировать небольшие группы перепутанных по поляризации фотонов и оперировать с ними, что открывает возможность практической реализации пинг-понг протокола с многокубитными ГХЦ-состояниями.

Схема пинг-понг протокола с использованием ГХЦ-триплетов и квантового сверхплотного кодирования, разработанная на основе оригинальной версии протокола [2] и многошагового протокола [6], предложена в [12]. Эта схема кратко изложена в следующем разделе статьи. В работе [2] была проанализирована атака подслушивающего агента с использованием квантовых проб на оригинальный пинг-понг протокол, в [4] аналогичный анализ выполнен для пинг-понг протокола с белловскими парами и квантовым сверхплотным кодированием. Целью настоящей работы является анализ атаки на пинг-понг протокол с ГХЦ-триплетами и последующая сравнительная оценка безопасности различных вариантов пинг-понг протокола.

### 1. Пинг-понг протокол с ГХЦ-триплетами

Существует восемь полностью перепутанных ортогональных трехкубитных ГХЦ-состояний:

$$\begin{aligned} |\Psi_{1,2}\rangle &= \frac{1}{\sqrt{2}}(|000\rangle \pm |111\rangle); & |\Psi_{3,4}\rangle &= \frac{1}{\sqrt{2}}(|100\rangle \pm |011\rangle); \\ |\Psi_{5,6}\rangle &= \frac{1}{\sqrt{2}}(|010\rangle \pm |101\rangle); & |\Psi_{7,8}\rangle &= \frac{1}{\sqrt{2}}(|110\rangle \pm |001\rangle), \end{aligned} \quad (1)$$

где  $|0\rangle$  и  $|1\rangle$  – базисные состояния одного кубита. Так как в квантовых коммуникациях в качестве кубитов используют фотоны, то в этом случае  $|0\rangle$  и  $|1\rangle$  соответствуют, например, горизонтальной и вертикальной (или левой круговой и правой круговой) поляризациям фотона.

Боб приготавливает три фотона в состоянии  $|\Psi_1\rangle$ . Он хранит третий фотон («домашний фотон») в своей лаборатории и посылает Алисе первые два («передаваемые фотоны») через квантовый канал. Алиса случайным образом переключается между режимом передачи сообщения и режимом контроля подслушивания.

В режиме передачи сообщения Алиса выполняет кодирующую унитарную операцию над двумя передаваемыми фотонами и посылает их назад Бобу. Кодирующие операции Алисы, построенные таким образом, чтобы они содержали минимально возможное количество нетождественных операций, имеют вид [12]

$$\begin{aligned} U_{000} &= I \otimes I; & U_{001} &= I \otimes \sigma_z; & U_{010} &= \sigma_x \otimes I; & U_{011} &= i\sigma_y \otimes I; \\ U_{100} &= I \otimes \sigma_x; & U_{101} &= I \otimes i\sigma_y; & U_{110} &= \sigma_x \otimes \sigma_x; & U_{111} &= i\sigma_y \otimes \sigma_x \end{aligned} \quad (2)$$

и соответствуют трехбитовым комбинациям «000», «001», «010», «011», «100», «101», «110» и «111». В выражении (2) использованы следующие обозначения:  $I = |0\rangle\langle 0| + |1\rangle\langle 1|$  – тождественный оператор;  $\sigma_x = |0\rangle\langle 1| + |1\rangle\langle 0|$ ,  $\sigma_y = -i|0\rangle\langle 1| + i|1\rangle\langle 0|$  и  $\sigma_z = |0\rangle\langle 0| - |1\rangle\langle 1|$  – операторы Паули.

Получив два кубита обратно от Алисы, Боб выполняет измерение над всеми тремя кубитами в ГХЦ-базисе и тем самым достоверно определяет трехбитовую строку, которую она послала.

В режиме контроля подслушивания Алиса сначала сообщает Бобу по обычному (не квантовому) каналу связи о переключении в этот режим. Получив сообщение от Алисы, Боб случайным образом выбирает один из двух измерительных базисов:  $B_z = \{|0\rangle\langle 0|; |1\rangle\langle 1|\}$  или  $B_x = \{|+\rangle\langle +|; |-\rangle\langle -|\}$ , где  $|+\rangle = (|0\rangle + |1\rangle)/\sqrt{2}$  и  $|-\rangle = (|0\rangle - |1\rangle)/\sqrt{2}$ , а затем выполняет измерение состояния своего «домашнего» фотона в выбранном базисе.

В результате измерения в базисе  $B_z$  Боб получит  $|0\rangle$  с вероятностью  $1/2$ , а состояние триплета после измерения будет  $|000\rangle$ . Тогда Боб сообщает Алисе по обычному каналу, что он выбрал базис  $B_z$ , а также сообщает результат своего измерения. Алиса выполняет измерения состояний своих двух кубитов также в базисе  $B_z$ , при этом ее результат должен быть  $|0\rangle$ ,  $|0\rangle$ . С вероятностью  $1/2$  Боб получит  $|1\rangle$ , и состояние триплета будет  $|111\rangle$ . Тогда Алиса, выполнив измерения в том же базисе, должна получить  $|1\rangle$ ,  $|1\rangle$ . Если же результаты Алисы отличаются от приведенных, то это означает, что Ева подслушивает (пренебрегаем здесь возможными ошибками при излучении, детектировании и передаче фотонов и считаем, что используется идеальное оборудование). В этом случае Алиса и Боб прерывают передачу. В противном случае Боб приготавливает следующий ГХЦ-триплет и выполняется следующий цикл протокола.

Аналогично, если в режиме контроля подслушивания Боб выберет базис  $B_x$ , то он с вероятностью  $1/2$  получит  $|+\rangle$  и состояние триплета будет  $|\Psi^+\rangle \otimes |+\rangle$  или получит  $|-\rangle$  и состояние триплета будет  $|\Psi^-\rangle \otimes |-\rangle$ , где  $|\Psi^+\rangle = (|00\rangle + |11\rangle)/\sqrt{2}$  и  $|\Psi^-\rangle = (|00\rangle - |11\rangle)/\sqrt{2}$  – два из состояний Белла. Тогда после получения сообщения от Боба о выбранном базисе и результате измерения Алиса измеряет два своих кубита в базисе Белла и в первом случае должна получить  $|\Psi^+\rangle$ , а во втором  $|\Psi^-\rangle$ . Если это не так, то протокол прерывается, иначе выполняется следующий цикл протокола.

## 2. Вывод выражения для максимальной информации Евы при атаке на пинг-понг протокол с ГХЦ-триплетами

Аналогично стратегии атаки на пинг-понг протокол с белловскими состояниями [2, 4] Ева должна сначала выполнить атакующую операцию  $E$ , перепутывая свою пробу с передаваемыми фотонами на пути Боб  $\rightarrow$  Алиса, а после выполнения Алисой одной из кодирующих операций (2) выполнить измерение над составной системой «передаваемые фотоны – проба» на пути Алиса  $\rightarrow$  Боб.

Кроме режима передачи сообщения, легитимные пользователи с определенной вероятностью  $q$  переключаются в режим контроля подслушивания в квантовом канале. Ева, прослушивая открытый обычный канал связи между ними, узнает о переключении в режим контроля подслушивания после выполнения атакующей операции  $E$ , что и позволяет легитимным пользователем обнаружить атаку. Отметим, что в режиме контроля подслушивания фотоны не передаются обратно от Алисы к Бобу и Ева не выполняет своего финального измерения. Таким образом, легитимные пользователи могут выявить только атакующую операцию  $E$ , которую Ева проводит на линии Боб  $\rightarrow$  Алиса.

Согласно теореме расширения [1] атакующая операция Евы  $E$  может быть реализована унитарным оператором в гильбертовом пространстве проб  $H_E$ , размерность которого удовлетворяет условию  $\dim H_E \leq (\dim H_B)^2$ , где  $\dim H_B = 4$  – размерность гильбертова пространства двух кубитов, пересылаемых от Боба к Алисе.

Состояние пересылаемой Бобом пары кубитов неотличимо для Евы от полностью смешанного, так как его редуцированная матрица плотности  $\rho_B = Tr_3(|\Psi_1\rangle\langle\Psi_1|) = (|00\rangle\langle 00| + |11\rangle\langle 11|)/2$ , где индекс 3 у символа операции «частичный след» обозначает номер кубита, по которому берется след. Таким образом, аналогично анализу атаки на оригинальный пинг-понг протокол [2], можно заменить состояние пересылаемой пары кубитов на априорное смешанное состояние, что в данном случае соответствует ситуации, как если бы Боб посылал пару кубитов в одном из состояний  $|00\rangle$ ,  $|01\rangle$ ,  $|10\rangle$  или  $|11\rangle$  с одинаковой вероятностью  $p = 1/4$ .

Следовательно, состояния составной системы «передаваемые кубиты – проба Евы» после атаки могут быть записаны в виде

$$\begin{aligned} |\psi^{(1)}\rangle &= E|00, \varphi\rangle = \alpha_1|00, \varphi_{0000}\rangle + \beta_1|01, \varphi_{0001}\rangle + \gamma_1|10, \varphi_{0010}\rangle + \delta_1|11, \varphi_{0011}\rangle; \\ |\psi^{(2)}\rangle &= E|01, \varphi\rangle = \alpha_2|00, \varphi_{0100}\rangle + \beta_2|01, \varphi_{0101}\rangle + \gamma_2|10, \varphi_{0110}\rangle + \delta_2|11, \varphi_{0111}\rangle; \\ |\psi^{(3)}\rangle &= E|10, \varphi\rangle = \alpha_3|00, \varphi_{1000}\rangle + \beta_3|01, \varphi_{1001}\rangle + \gamma_3|10, \varphi_{1010}\rangle + \delta_3|11, \varphi_{1011}\rangle; \\ |\psi^{(4)}\rangle &= E|11, \varphi\rangle = \alpha_4|00, \varphi_{1100}\rangle + \beta_4|01, \varphi_{1101}\rangle + \gamma_4|10, \varphi_{1110}\rangle + \delta_4|11, \varphi_{1111}\rangle, \end{aligned} \quad (3)$$

где  $\{|\varphi_{ijkl}\rangle\}$  – множество состояний пробы Евы.

Матричное представление атакующей операции Евы имеет вид

$$E = \begin{pmatrix} \alpha_1 & \alpha_2 & \alpha_3 & \alpha_4 \\ \beta_1 & \beta_2 & \beta_3 & \beta_4 \\ \gamma_1 & \gamma_2 & \gamma_3 & \gamma_4 \\ \delta_1 & \delta_2 & \delta_3 & \delta_4 \end{pmatrix}. \quad (4)$$

Из условия унитарности операции  $E$  следуют такие соотношения между параметрами пробы Евы:

$$\alpha_i^* \alpha_j + \beta_i^* \beta_j + \gamma_i^* \gamma_j + \delta_i^* \delta_j = \varepsilon_{ij}, \quad (5)$$

где  $\varepsilon_{ij}$  – символ Кронекера,  $i = 1 \dots 4$ ,  $j = 1 \dots 4$ .

Также соблюдаются следующие соотношения:

$$\begin{aligned} |\alpha_1|^2 = |\beta_2|^2 = |\gamma_3|^2 = |\delta_4|^2; & \quad |\alpha_2|^2 = |\beta_3|^2 = |\gamma_4|^2 = |\delta_1|^2; \\ |\alpha_3|^2 = |\beta_4|^2 = |\gamma_1|^2 = |\delta_2|^2; & \quad |\alpha_4|^2 = |\beta_1|^2 = |\gamma_2|^2 = |\delta_3|^2. \end{aligned} \quad (6)$$

Рассмотрим сначала случай, когда Боб посылает  $|00\rangle$ , т. е. состояние квантовой системы «передаваемые кубиты – проба Евы» после атаки  $E$  становится  $|\Psi^{(1)}\rangle$  (см. (3)). Остальные случаи в формуле (3) рассматриваются аналогично.

После выполнения Алисой кодирующих операций  $U_{000}, \dots, U_{111}$  (2) с частотами  $p_1, \dots, p_8$  соответственно оператор плотности системы «передаваемые кубиты – проба» будет иметь вид

$$\rho^{(1)} = \sum_{i=1}^8 p_i |\Psi_i^{(1)}\rangle \langle \Psi_i^{(1)}|, \quad (7)$$

где

$$\begin{aligned} |\Psi_1^{(1)}\rangle &= U_{000} |\Psi^{(1)}\rangle = \alpha_1 |00, \Phi_{0000}\rangle + \beta_1 |01, \Phi_{0001}\rangle + \gamma_1 |10, \Phi_{0010}\rangle + \delta_1 |11, \Phi_{0011}\rangle; \\ |\Psi_2^{(1)}\rangle &= U_{001} |\Psi^{(1)}\rangle = \alpha_1 |00, \Phi_{0000}\rangle - \beta_1 |01, \Phi_{0001}\rangle + \gamma_1 |10, \Phi_{0010}\rangle - \delta_1 |11, \Phi_{0011}\rangle; \\ |\Psi_3^{(1)}\rangle &= U_{010} |\Psi^{(1)}\rangle = \alpha_1 |10, \Phi_{0000}\rangle + \beta_1 |11, \Phi_{0001}\rangle + \gamma_1 |00, \Phi_{0010}\rangle + \delta_1 |01, \Phi_{0011}\rangle; \\ |\Psi_4^{(1)}\rangle &= U_{011} |\Psi^{(1)}\rangle = -\alpha_1 |10, \Phi_{0000}\rangle - \beta_1 |11, \Phi_{0001}\rangle + \gamma_1 |00, \Phi_{0010}\rangle + \delta_1 |01, \Phi_{0011}\rangle; \\ |\Psi_5^{(1)}\rangle &= U_{100} |\Psi^{(1)}\rangle = \alpha_1 |01, \Phi_{0000}\rangle + \beta_1 |00, \Phi_{0001}\rangle + \gamma_1 |11, \Phi_{0010}\rangle + \delta_1 |10, \Phi_{0011}\rangle; \\ |\Psi_6^{(1)}\rangle &= U_{101} |\Psi^{(1)}\rangle = -\alpha_1 |01, \Phi_{0000}\rangle + \beta_1 |00, \Phi_{0001}\rangle - \gamma_1 |11, \Phi_{0010}\rangle + \delta_1 |10, \Phi_{0011}\rangle; \\ |\Psi_7^{(1)}\rangle &= U_{110} |\Psi^{(1)}\rangle = \alpha_1 |11, \Phi_{0000}\rangle + \beta_1 |10, \Phi_{0001}\rangle + \gamma_1 |01, \Phi_{0010}\rangle + \delta_1 |00, \Phi_{0011}\rangle; \\ |\Psi_8^{(1)}\rangle &= U_{111} |\Psi^{(1)}\rangle = -\alpha_1 |11, \Phi_{0000}\rangle - \beta_1 |10, \Phi_{0001}\rangle + \gamma_1 |01, \Phi_{0010}\rangle + \delta_1 |00, \Phi_{0011}\rangle. \end{aligned} \quad (8)$$

Максимальная классическая информация  $I_{\max}$ , которая доступна Еве после измерения над составной системой «передаваемые кубиты – проба», определяется энтропией Холево [1]:

$$I_{\max} = S(\rho^{(1)}) - \sum_i p_i S(\rho_i^{(1)}) = S(\rho^{(1)}), \quad (9)$$

где  $\rho_i^{(1)} = |\Psi_i^{(1)}\rangle \langle \Psi_i^{(1)}|$ ;  $S$  – энтропия фон Неймана и все  $S(\rho_i^{(1)})$  равны нулю, так как состояния (8) при выполнении условий (5) чистые. Таким образом,

$$I_{\max} = S(\rho^{(1)}) \equiv -Tr \{ \rho^{(1)} \log_2 \rho^{(1)} \} = -\sum_i \lambda_i \log_2 \lambda_i, \quad (10)$$

где  $\lambda_i$  – собственные значения оператора плотности  $\rho^{(1)}$  (7).

Для нахождения собственных значений  $\lambda_i$  оператор плотности  $\rho^{(1)}$  (7) был записан в матричном виде в следующем ортогональном базисе:

$$\{ |00, \Phi_{0000}\rangle, |01, \Phi_{0000}\rangle, |10, \Phi_{0000}\rangle, |11, \Phi_{0000}\rangle, |00, \Phi_{0001}\rangle, |01, \Phi_{0001}\rangle, |10, \Phi_{0001}\rangle, |11, \Phi_{0001}\rangle, \quad (11)$$

$$\{|00, \varphi_{0010}\rangle, |01, \varphi_{0010}\rangle, |10, \varphi_{0010}\rangle, |11, \varphi_{0010}\rangle, |00, \varphi_{0011}\rangle, |01, \varphi_{0011}\rangle, |10, \varphi_{0011}\rangle, |11, \varphi_{0011}\rangle\}.$$

Полученная матрица имеет размер  $16 \times 16$  и здесь не приводится ввиду ее громоздкости. Собственные значения матрицы плотности  $\rho^{(1)}$  были найдены с помощью инструментария символьных вычислений программы Mathematica 6:

$$\begin{aligned} \lambda_{1,2} &= \frac{1}{2}(p_1 + p_2) \pm \frac{1}{2} \sqrt{(p_1 + p_2)^2 - 16p_1p_2(|\alpha_1|^2 + |\gamma_1|^2)(|\beta_1|^2 + |\delta_1|^2)}; \\ \lambda_{3,4} &= \frac{1}{2}(p_3 + p_4) \pm \frac{1}{2} \sqrt{(p_3 + p_4)^2 - 16p_3p_4(|\alpha_1|^2 + |\beta_1|^2)(|\gamma_1|^2 + |\delta_1|^2)}; \\ \lambda_{5,6} &= \frac{1}{2}(p_5 + p_6) \pm \frac{1}{2} \sqrt{(p_5 + p_6)^2 - 16p_5p_6(|\alpha_1|^2 + |\gamma_1|^2)(|\beta_1|^2 + |\delta_1|^2)}; \\ \lambda_{7,8} &= \frac{1}{2}(p_7 + p_8) \pm \frac{1}{2} \sqrt{(p_7 + p_8)^2 - 16p_7p_8(|\alpha_1|^2 + |\beta_1|^2)(|\gamma_1|^2 + |\delta_1|^2)}. \end{aligned} \quad (12)$$

Остальные восемь собственных значений матрицы плотности  $\rho^{(1)}$  равны нулю. Таким образом, максимальная информация Евы

$$I_{\max} = - \sum_{i=1}^8 \lambda_i \log_2 \lambda_i, \quad (13)$$

где  $\lambda_i$  определены в (12).

Аналогично рассматриваются остальные случаи в (3), т. е. когда Боб вместо  $|00\rangle$  посылает  $|01\rangle$ ,  $|10\rangle$ , или  $|11\rangle$ . При учете соотношений (6) для  $|10\rangle$  собственные значения матрицы плотности совпадают с (12), а для  $|01\rangle$  и  $|11\rangle$  имеют вид

$$\begin{aligned} \lambda_{1,2} &= \frac{1}{2}(p_1 + p_2) \pm \frac{1}{2} \sqrt{(p_1 + p_2)^2 - 16p_1p_2(|\alpha_1|^2 + |\gamma_1|^2)(|\beta_1|^2 + |\delta_1|^2)}; \\ \lambda_{3,4} &= \frac{1}{2}(p_3 + p_4) \pm \frac{1}{2} \sqrt{(p_3 + p_4)^2 - 16p_3p_4(|\alpha_1|^2 + |\delta_1|^2)(|\beta_1|^2 + |\gamma_1|^2)}; \\ \lambda_{5,6} &= \frac{1}{2}(p_5 + p_6) \pm \frac{1}{2} \sqrt{(p_5 + p_6)^2 - 16p_5p_6(|\alpha_1|^2 + |\gamma_1|^2)(|\beta_1|^2 + |\delta_1|^2)}; \\ \lambda_{7,8} &= \frac{1}{2}(p_7 + p_8) \pm \frac{1}{2} \sqrt{(p_7 + p_8)^2 - 16p_7p_8(|\alpha_1|^2 + |\delta_1|^2)(|\gamma_1|^2 + |\beta_1|^2)}. \end{aligned} \quad (14)$$

### 3. Анализ стратегии атаки на протокол с ГХЦ-триплетами и сравнительная оценка безопасности трех вариантов пинг-понг протокола

При использовании в режиме контроля подслушивания двух измерительных базисов  $B_z$  и  $B_x$  вероятность обнаружить атакующую операцию  $E$  Евы определяется выражением

$$d = q_z d_z + q_x d_x, \quad (15)$$

где  $q_z$  и  $q_x$  – вероятности использования Алисой и Бобом базисов  $B_z$  и  $B_x$  соответственно ( $q_z + q_x = 1$ );  $d_z$  и  $d_x$  – вероятности обнаружения атаки Евы при измерениях в базисах  $B_z$  и  $B_x$  соответственно.

Оптимальная стратегия для Евы, т. е. выбор оптимальных параметров атакующей операции  $\alpha_1$ ,  $\beta_1$ ,  $\gamma_1$  и  $\delta_1$  в (4) (остальные параметры получаются из (6)), зависит от стратегии контроля подслушивания, которую выберет Алиса, т. е. от ее выбора  $q_z$  и  $q_x$ . Ева не знает заранее, какие значения  $q_z$  и  $q_x$  выбрала Алиса, но Ева может оценить эти величины в процессе реализации протокола, прослушивая открытый обычный канал между Алисой и Бобом, когда они обмениваются информацией в режиме контроля подслушивания. Тогда Ева может изменить стратегию своей атаки соответствующим образом. Однако чтобы оценить  $q_z$  и  $q_x$ , Еве необходимо получить информацию хотя бы о нескольких сеансах контроля подслушивания. Поэтому оптимальной стратегией для Алисы будет изменение  $q_z$  и  $q_x$  через каждые несколько сеансов, такое, чтобы Ева не успевала приспособить свою атаку к их новым значениям.

В качестве примера выбора Евой параметров  $\alpha_1$ ,  $\beta_1$ ,  $\gamma_1$  и  $\delta_1$  рассмотрим случай, когда Алиса выбрала  $q_z = q_x = 1/2$ . Тогда для Евы, задача которой состоит в минимизации величины  $d$  (15), оптимальным выбором будет  $d_x = d_z$ . Далее Ева должна выбрать желаемую величину  $d_z$  (при этом чем меньше будет  $d_z$ , тем меньше будет информация  $I_{\max}$  Евы согласно (12)–(14)) и, наконец, значения  $\alpha_1$ ,  $\beta_1$ ,  $\gamma_1$  и  $\delta_1$ , такие, чтобы они удовлетворяли соотношениям (5) и одновременно выполнялось соотношение  $d_x = d_z$ .

Как следует из первого выражения в (3), в случае, когда Боб посылает  $|00\rangle$ ,

$$d_z = |\beta_1|^2 + |\gamma_1|^2 + |\delta_1|^2 = 1 - |\alpha_1|^2. \quad (16)$$

Аналогично, если Боб посылает  $|01\rangle$ , то

$$d_z = |\alpha_2|^2 + |\gamma_2|^2 + |\delta_2|^2 = 1 - |\beta_2|^2 = |\beta_1|^2 + |\gamma_1|^2 + |\delta_1|^2 = 1 - |\alpha_1|^2, \quad (17)$$

где для получения последних двух равенств использованы выражения (6). Как следует из (3) и (6), то же самое выражение для  $d_z$  получается и когда Боб посылает  $|10\rangle$  и  $|11\rangle$ . Таким образом, общее выражение для вероятности обнаружения атаки при использовании в режиме контроля подслушивания измерительного базиса  $B_z$  имеет вид (16).

Выражение для  $d_x$  может быть получено аналогично тому, как выше получено выражение для  $d_z$ . В силу того что состояние пересылаемой Бобом пары кубитов полностью смешанное, теперь можно считать, что Боб посылает пару кубитов в одном из состояний  $|++\rangle$ ,  $|+-\rangle$ ,  $|-\rangle$  или  $|--\rangle$  с одинаковой вероятностью  $p = 1/4$ . Тогда формулы (3) заменяются на следующие:

$$\begin{aligned} |\Psi^{(1)}\rangle &= E|++\rangle = a_1|++\rangle + b_1|+-\rangle + c_1|-\rangle + d_1|--\rangle; \\ |\Psi^{(2)}\rangle &= E|+-\rangle = a_2|++\rangle + b_2|+-\rangle + c_2|-\rangle + d_2|--\rangle; \\ |\Psi^{(3)}\rangle &= E|-\rangle = a_3|++\rangle + b_3|+-\rangle + c_3|-\rangle + d_3|--\rangle; \\ |\Psi^{(4)}\rangle &= E|--\rangle = a_4|++\rangle + b_4|+-\rangle + c_4|-\rangle + d_4|--\rangle. \end{aligned} \quad (18)$$

Далее, все формулы (4)–(14) остаются справедливыми при замене  $|00\rangle \rightarrow |++\rangle$ ,  $|01\rangle \rightarrow |+-\rangle$ ,  $|10\rangle \rightarrow |-+\rangle$ ,  $|11\rangle \rightarrow |--\rangle$ ,  $\alpha_1 \rightarrow a_1$ ,  $\beta_1 \rightarrow b_1$ ,  $\gamma_1 \rightarrow c_1$ ,  $\delta_1 \rightarrow d_1$ ,  $\alpha_2 \rightarrow a_2$  и т. д. Таким образом, выражение (16) переходит в выражение

$$d_x = |b_1|^2 + |c_1|^2 + |d_1|^2 = 1 - |a_1|^2. \quad (19)$$

Используя (3) и (18), можно получить следующие выражения, связывающие параметры  $\alpha_1$ ,  $\beta_1$ ,  $\gamma_1$  и  $\delta_1$  с параметрами  $a_1$ ,  $b_1$ ,  $c_1$  и  $d_1$ :

$$\begin{aligned} \alpha_1 &= (a_1 + b_1 + c_1 + d_1)/2; & \beta_1 &= (a_1 - b_1 + c_1 - d_1)/2; \\ \gamma_1 &= (a_1 + b_1 - c_1 - d_1)/2; & \delta_1 &= (a_1 - b_1 - c_1 + d_1)/2. \end{aligned} \quad (20)$$

Применяя теперь условие оптимальности атаки Евы  $d_x = d_z$  (при выборе Алисы  $q_z = q_x = 1/2$ ) и учитывая все вышеприведенные соотношения для  $\alpha_1$ ,  $\beta_1$ ,  $\gamma_1$ ,  $\delta_1$ ,  $a_1$ ,  $b_1$ ,  $c_1$  и  $d_1$ , можно получить различные допустимые наборы параметров атакующей операции Евы.

Так, примером такого набора параметров является

$$d_x = d_z = 3/4, \quad \alpha_1 = 1/2, \quad \beta_1 = \gamma_1 = 1/2, \quad \delta_1 = -1/2, \quad I_{\max} = 3,$$

где  $I_{\max}$  получено по формулам (12), (13) при  $p_1 = \dots = p_8 = 1/8$ .

На рис. 1 показана зависимость  $I_{\max}$  от  $d_z$  при  $|\alpha_1|^2 = 1 - d_z$ ,  $|\beta_1|^2 = |\gamma_1|^2 = |\delta_1|^2 = d_z/3$  и  $p_1 = \dots = p_8 = 1/8$  (кривая 1). В этом случае выражения для собственных значений (12) матрицы плотности (7) принимают вид

$$\lambda_{1,2} = \lambda_{3,4} = \lambda_{5,6} = \lambda_{7,8} = \frac{1}{8} \pm \frac{1}{2} \sqrt{\frac{1}{16} - \frac{1}{4} \cdot \frac{2}{3} d_z \left(1 - \frac{2}{3} d_z\right)}. \quad (21)$$

Для сравнения на рис. 1 приведены также зависимости  $I_{\max}$  от  $d_z$  для пинг-понг протокола с белловскими парами и квантовым сверхплотным кодированием [4] при  $p_1 = \dots = p_4 = 1/4$  (кривая 2) и оригинального протокола без сверхплотного кодирования [2] при  $p_1 = p_2 = 1/2$  (кривая 3).

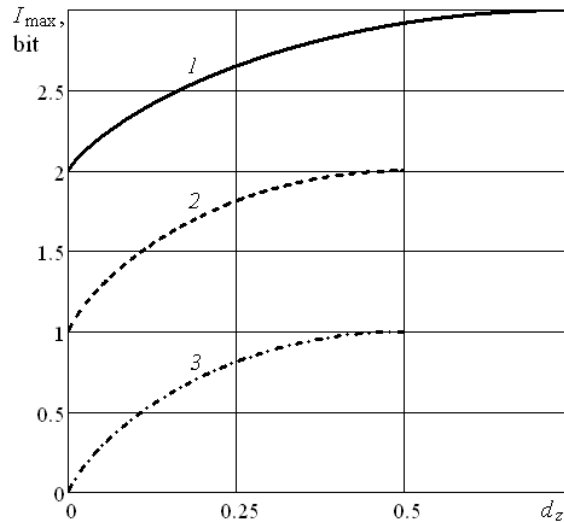


Рис. 1. Зависимость максимальной информации Евы от вероятности обнаружения атаки при измерениях в базисе  $B_z$ : 1 – протокол с ГХЦ-триплетами; 2 – с белловскими парами и сверхплотным кодированием; 3 – с белловскими парами и без сверхплотного кодирования

Из рис. 1 видно, что для протокола с ГХЦ-триплетами, как и для протокола с белловскими парами и сверхплотным кодированием, существует невидимый режим подслушивания ( $d_z = 0$ ), если легитимные пользователи используют только один измерительный базис  $B_z$ . При этом для случая равномерного распределения частот кодирующих операций Алисы в протоколе с белловскими парами и сверхплотным кодированием Ева может получить 1 бит информации на двоичную биграмму, т. е. 50 % информации. Для протокола с ГХЦ-триплетами Ева получит 2 бита на триграмму, т. е.  $\approx 66,7$  % информации. Поэтому для этих двух вариантов пинг-понг протокола в режиме контроля подслушивания необходимо выполнять измерения в одном из двух базисов  $B_z$  или  $B_x$ , выбирая один из них случайным образом для каждого цикла контроля подслушивания. При этом, как следует из (16), (19) и (20) для протокола с ГХЦ-триплетами и аналогично для протокола с белловскими парами и сверхплотным кодированием [3, 4], Ева не имеет возможности так подобрать параметры своей пробы, чтобы  $d_z$  и  $d_x$  одновременно стремились к нулю. Отметим, что в оригинальном пинг-понг протоколе без сверхплотного кодирования в режиме контроля подслушивания используется только один базис  $B_z$  [2] и, как видно из рис. 1 (кривая 3), если информация Евы  $I_{\max} > 0$ , то и  $d_z > 0$ .

Рассмотрим теперь вопрос о том, сколько информации может получить Ева, проведя некоторое количество успешных атак, в зависимости от полной вероятности ее обнаружения. Согласно [2] вероятность того, что Ева не будет обнаружена после  $n$  успешных атак и получит информацию  $I = n I_{\max}(d)$ , определяется выражением

$$s(I, q, d) = \left( \frac{1-q}{1-q(1-d)} \right)^{I/I_{\max}(d)}. \quad (22)$$

На рис. 2 изображены зависимости  $s$  от  $I$  при частоте переключения в режим контроля подслушивания  $q = 0,5$ , одинаковых значениях частот кодирующих операций Алисы и значениях  $d$ , соответствующих полной информации Евы, т. е. когда Ева выбирает параметры своих проб так, чтобы с достоверностью определить состояния, созданные кодирующими операциями Алисы.

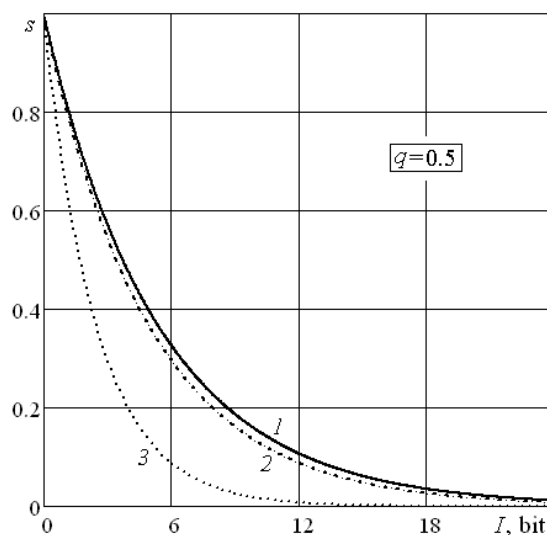


Рис. 2. Вероятность необнаружения Евы  $s$  при  $q = 0,5$ :  
 1 – протокол с ГХЦ-триплетами,  $d = 0,75$ ; 2 – с белловскими парами  
 и сверхплотным кодированием,  $d = 0,5$ ; 3 – с белловскими парами  
 и без сверхплотного кодирования,  $d = 0,5$

Как видно из рис. 2, количество информации, попадающей к Еве (при фиксированной величине  $s$ ), меньше всего для пинг-понг протокола с белловскими парами и без сверхплотного кодирования, несколько больше для такого же протокола со сверхплотным кодированием и

больше всего для протокола с ГХЦ-триплетами. При этом информационная емкость на один цикл протокола составляет 1, 2 и 3 бита соответственно. Таким образом, информационная емкость и безопасность различных вариантов пинг-понг протокола находятся в обратно пропорциональной зависимости. Отметим, однако, что кривые 1 и 2 лежат очень близко друг к другу, что свидетельствует о практически одинаковой стойкости соответствующих протоколов к стратегии атаки, когда Ева хочет получить полную информацию о переданных битах Алисы.

Так как информационная емкость протокола с ГХЦ-триплетами в 1,5 раза выше емкости протокола с белловскими парами и сверхплотным кодированием, то можно сделать вывод, что из этих двух вариантов пинг-понг протокола вариант с ГХЦ-триплетами предпочтительнее. Отметим также, что полная вероятность необнаружения подслушивания уменьшается экспоненциально с ростом успешно перехваченных бит для всех рассмотренных вариантов пинг-понг протокола (см. рис. 2). Так, даже для протокола с ГХЦ-триплетами вероятность того, что подслушивание не будет обнаружено, при  $p_1 = \dots = p_8 = 1/8$ ,  $q = 0,5$  и  $d = 0,75$  равна всего 0,061 при перехвате Евой 15 бит и равна 0,011 при перехвате 24 бит.

#### 4. Другие возможные атаки на пинг-понг протокол с ГЦХ-триплетами

Рассмотрим другие известные атаки на оригинальный пинг-понг протокол [13–15] и проанализируем возможность таких атак на протокол с ГХЦ-триплетами, а также способы защиты этого протокола от подобных атак.

В работе [13] предложена атака на оригинальный пинг-понг протокол, использующая два дополнительных фотона, которые перепутываются с передаваемым фотоном применением определенных квантовых гейтов. Эта атака не может быть обнаружена в режиме контроля подслушивания (стандартом для оригинального протокола), но создает 50 %-е потери в канале, что может быть легко обнаружено легитимными пользователями, если естественный уровень шума в канале невелик. В работе [14] атака была усовершенствована таким образом, что дополнительные потери в канале не создаются, однако оба варианта этой атаки создают дополнительный «передаваемый» фотон, который может быть зарегистрирован Алисой и Бобом и свидетельствует об операциях Евы [13, 14]. Также атаки [13, 14] создают дополнительный уровень ошибок в 25 % в режиме передачи сообщения, что также могут обнаружить легитимные пользователи. Еще один способ обнаружить такую атаку состоит в применении двух базисов  $B_z$  и  $B_x$  в режиме контроля подслушивания вместо одного базиса  $B_z$ , как в оригинальном пинг-понг протоколе. При использовании двух базисов вероятность обнаружения атаки составляет 25 % [14].

В протоколе с ГХЦ-триплетами используются два базиса в режиме контроля подслушивания. Таким образом, атака на этот протокол, аналогичная рассмотренной в [13, 14], может быть обнаружена. Возможно, существуют и другие атаки на протокол с ГХЦ-триплетами с использованием составных квантовых проб и применением определенных последовательностей квантовых гейтов. Этот вопрос требует дополнительных исследований.

Любой вариант пинг-понг протокола также уязвим к двум видам атак, хорошо известных и в классической криптографии: атаке «человек посередине» и атаке «отказ в обслуживании». Для атаки «человек посередине» Ева должна полностью контролировать классический канал связи между Алисой и Бобом, т. е. иметь возможность изменять все сообщения, которыми они обмениваются в режиме контроля подслушивания. Защита от этой атаки хорошо известна: легитимные пользователи должны снабжать кодом аутентичности [16] все передаваемые в классическом канале сообщения, и этот способ защиты пригоден для любого варианта пинг-понг протокола, в том числе протокола с ГХЦ-триплетами.

Атака «отказ в обслуживании», впервые рассмотренная в [15] для оригинального пинг-понг протокола, заключается в следующем. Ева не перепутывает свою пробу с передаваемым кубитом на пути Боб  $\rightarrow$  Алиса, а просто измеряет состояние кубита на обратном пути Алиса  $\rightarrow$  Боб (в режиме передачи сообщения), тем самым разрушая запутанность между домашним и передаваемым кубитами. При этом Ева не получит никакой информации, но разрушит квантовый канал связи между Алисой и Бобом, так как результаты измерений Боба станут случайными и никак не зависящими от кодирующих операций Алисы. Разумеется, подобным образом Ева может изме-

рядь состояния двух передаваемых кубитов (или даже только одного) в протоколе с ГХЦ-триплетами и разрушать запутанность ГХЦ-состояния.

Метод обнаружения атаки «отказ в обслуживании» был предложен в [15] и состоит в небольшой модификации режима контроля подслушивания: часть кубитов в этом режиме Алиса не измеряет, а отправляет обратно Бобу. Боб проводит измерение в базисе Белла и определяет, сохранилось ли начальное перепутанное состояние, которое он приготовил. При этом в случае атаки Евы вероятность того, что Боб получит неверный результат, равна 0,5, и в таком случае протокол необходимо прервать [15]. Аналогичным образом эта атака может быть обнаружена и для протокола с ГХЦ-триплетами: часть передаваемых пар кубитов Алиса в режиме контроля подслушивания должна возвращать Бобу, а он должен проводить измерения в ГХЦ-базисе и определять сохранность приготовленного им начального состояния  $|\Psi_1\rangle = (|000\rangle + |111\rangle)/\sqrt{2}$ . Отметим, что такой способ выявления атаки «отказ в обслуживании» пригоден только для идеального квантового канала. Для шумного канала необходимо разработать отдельный способ обнаружения этой атаки.

### Заключение

В работе рассмотрена атака с использованием квантовых проб на пинг-понг протокол с ГХЦ-триплетами, а также вычислена полная вероятность обнаружения подслушивающего агента в зависимости от количества полученной им информации для трех вариантов пинг-понг протокола. Показано, что информационная емкость и безопасность различных вариантов пинг-понг протокола находятся в обратно пропорциональной зависимости. При этом если подслушивающий агент выбирает стратегию атаки, которая дает полную информацию о переданных битах, протокол с белловскими парами и сверхплотным кодированием и протокол с ГХЦ-триплетами имеют практически одинаковую стойкость к такой атаке, что говорит о преимуществе второго протокола вследствие его большей информационной емкости. Отметим, что если подслушивающий агент решит уменьшить вероятность своего обнаружения, уменьшая величину  $d$ , то он определит правильно не все биты сообщения.

Количество битов, которые может перехватить подслушивающий агент до его обнаружения, даже для протокола с ГХЦ-триплетами не превышает двух-трех десятков, что не представляет большой угрозы. В тех случаях, когда и такая утечка недопустима, использование пинг-понг протокола требует дополнительных мер по усилению секретности. Детальный анализ способов усиления секретности различных вариантов пинг-понг протокола с учетом полученных оценок попадающей к подслушивающему агенту информации будет предметом другой работы.

### Список литературы

1. Нильсен, М. Квантовые вычисления и квантовая информация / М. Нильсен, И. Чанг. – М. : Мир, 2006. – 824 с.
2. Bostrom, K. Deterministic secure direct communication using entanglement / K. Bostrom, T. Felbinger // *Physical Review Letters*. – 2002. – Vol. 89, № 18. – Art. 187902.
3. Cai, Q.-Y. Improving the capacity of the Bostrom – Felbinger protocol / Q.-Y. Cai, B.-W. Li // *Physical Review A*. – 2004. – Vol. 69, № 5. – Art. 054301.
4. Василиу, Е.В. Анализ безопасности пинг-понг протокола с квантовым плотным кодированием / Е.В. Василиу // *Наукові праці ОНАЗ ім. О.С. Попова*. – 2007. – № 1. – С. 32–38.
5. Ostermeyer, M. On the implementation of a deterministic secure coding protocol using polarization entangled photons / M. Ostermeyer, N. Walenta // *Optics Communications*. – 2008. – Vol. 281, № 17. – P. 4540–4544.
6. Wang, Ch. Multi-step quantum secure direct communication using multi-particle Greenberger – Horne – Zeilinger state / Ch. Wang, F.G. Deng, G.L. Long // *Optics Communications*. – 2005. – Vol. 253, № 1. – P. 15–20.
7. Wang, J. Multiparty controlled quantum secure direct communication using Greenberger – Horne – Zeilinger state / J. Wang, Q. Zhang, C.J. Tang // *Optics Communications*. – 2006. – Vol. 266, № 2. – P. 732–737.

8. Василю, Е.В. Безопасность пинг-понг протокола квантовой связи для передачи текстовых сообщений / Е.В. Василю // Наукові праці ОНАЗ ім. О.С. Попова. – 2007. – № 2. – С. 36–44.
9. Experimental high-intensity three-photon entangled source / H.-X. Lu [et al.] // Physical Review A. – 2008. – Vol. 78, № 3. – Art. 033819.
10. Xu, J.-S. Generation of a High-Visibility Four-Photon Entangled State and Realization of a Four-Party Quantum Communication Complexity Scenario / J.-S. Xu, Ch.-F. Li, G.-C. Guo // Physical Review A. – 2006. – Vol. 74, № 5. – Art. 052311.
11. Experimental entanglement of six photons in graph states / Ch.-Y. Lu [et al.] // Nature Physics. – 2007. – Vol. 3. – P. 91–95.
12. Василю, Е.В. Пинг-понг протокол с трех- и четырехкубитными состояниями Гринбергера – Хорна – Цайлингера / Е.В. Василю, Л.Н. Василю // Тр. Одесского политехн. ун-та. – 2008. – Вып. 1 (29). – С. 171–176.
13. Wojcik, A. Eavesdropping on the «Ping-Pong» Quantum Communication Protocol / A. Wojcik // Physical Review Letters. – 2003. – Vol. 90, № 15. – Art. 157901.
14. Zhang, Zh.-J. Improved Wojcik's eavesdropping attack on ping-pong protocol without eavesdropping-induced channel loss / Zh.-J. Zhang, Y. Li, Zh.-X. Man // Physics Letters A. – 2005. – Vol. 341, № 5–6. – P. 385–389.
15. Cai, Q.-Y. The «Ping-Pong» Protocol Can Be Attacked without Eavesdropping / Q.-Y. Cai // Physical Review Letters. – 2003. – Vol. 91, № 10. – Art. 109801.
16. Фергюсон, Н. Практическая криптография; пер. с англ. / Н. Фергюсон, Б. Шнайер. – М.: Изд. дом «Вильямс», 2005. – 424 с.

Поступила 13.11.08

*Одесская национальная академия связи им. А.С. Попова,  
Одесса, Кузнечная, 1  
e-mail: vasilii@ua.fm*

**Ye.V. Vasiliu**

**SECURITY OF THE PING-PONG PROTOCOL  
WITH GREENBERGER – HORNE – ZEILINGER TRIPLETS AGAINST ATTACK  
WITH THE USE OF AUXILIARY QUANTUM SYSTEMS**

The attack using auxiliary quantum systems on the ping-pong protocol with three-qubit entangled Greenberger – Horne – Zeilinger states is analyzed. It is shown, that the protocol is asymptotic secure using two measuring bases by legitimate users in a control mode similarly to the ping-pong protocol with the Bell states. The preliminary comparative security analysis of three variants of the ping-pong protocol is carried out. It is shown, that the information capacity and the security of various variants of the ping-pong protocol are in the inverse proportion. It is shown also, that the amount of bits, which the eavesdropper can intercept before its detection, even for the protocol with GHZ-triplets, does not exceed two-three tens. Protection methods of the ping-pong protocol with GHZ-triplets against other known kinds of attacks on the ping-pong protocol are briefly discussed.